

Ю.В. Кулешов, А.В. Рощин,  
Л.М. Шишкин, К.А. Андреев

### ОПРЕДЕЛЕНИЕ МЕХАНИЧЕСКИХ ПАРАМЕТРОВ НАНООБЪЕКТОВ

Рассматривается задача определения механических параметров некоторых нанобъектов (нанотрубок и нанокристаллов) по частотам системы, состоящей из подложки и расположенных на ней нанобъектов (ПН), и частотам одной подложки [1]. Модель подложки – многослойная пластина. Модель нанобъекта – прямолинейный стержень. (рис. 1).

Нелинейные колебания ПН описываются дифференциальными уравнениями [2, 3]:

$$2\Delta\Delta F = -EhL(w, w); \quad (1)$$

$$D\left(1 - \frac{\theta h^2}{\beta}\Delta\right)\Delta\Delta\chi + \rho h \frac{\partial^2}{\partial t^2}\left(1 - \frac{h^2}{\beta}\Delta\right)\chi + 2\rho h \varepsilon \frac{\partial}{\partial t}\left(1 - \frac{h^2}{\beta}\Delta\right)\chi = \\ = L(w, F) + q(x, y) \cos \omega t; \quad w = \left(1 - \frac{h^2}{\beta}\Delta\right)\chi; \quad (2)$$

$$\sigma'_{ij} = \dot{U}_{ij}; \quad \dot{\sigma}_{ij} = U'_{ij}; \quad i = \overline{1, M}; \quad j = \overline{1, N}, \quad (3)$$

где  $\theta$  и  $\beta$  – безразмерные параметры подложки [2];  $L$  и  $\Delta$  – дифференциальные операторы [3];  $\sigma_{ij}$ ,  $U_{ij}$  – безразмерные продольные напряжение и скорость сечения нанобъекта « $ij$ ». Другие обозначения соответствуют [2, 3].

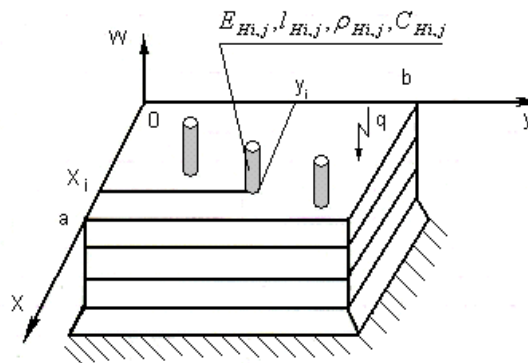


Рис. 1. Подложка с нанобъектами

Положим

$$q = q_0 \sin \frac{m\pi x}{a} \sin \frac{n\pi y}{b} \cos \omega t + \sum_{i=1}^m \sum_{j=1}^n P_{ij} \delta(x - x_i) \delta(y - y_i), \quad (4)$$

где  $q_0 = \text{const}$ ;  $\delta$  – функция Дирака;  $P_{ij}$  – действие нанобъекта « $ij$ » на подложку.

Решение (1) – (3) будем искать в виде:

$$W = h\zeta \sin \frac{m\pi x}{a} \sin \frac{n\pi y}{b}, \quad \zeta = a_1 \cos \omega t + b_1 \sin \omega t, \quad \chi = \chi_0(t) \sin \frac{m\pi x}{a} \sin \frac{n\pi y}{b}; \quad (5)$$

$$\sigma_{ij} = \sigma_{1ij} \cos \omega t + \sigma_{2ij} \sin \omega t, \quad U_{ij} = U_{1ij} \cos \omega t + U_{2ij} \sin \omega t. \quad (6)$$

Интегрируя (1) с учетом (5) методом, предложенным в [4], находим силовую функцию в форме [3]. Для точки контакта нанобъекта « $ij$ » с подложкой потребуем выполнения условия совместности скоростей:

$$U_{ij}(1, t) = \frac{h}{l_{Hij}} \zeta \sin \frac{m\pi x_i}{a} \sin \frac{n\pi y_i}{b}, \quad i = \overline{1, M}; \quad j = \overline{1, N}. \quad (7)$$

Интегрируя систему (3) с учетом (7), определяем закон изменения напряжений в нанобъектах и силы их воздействий на подложку. Интегрируя затем систему (2) методом Бубнова–Галеркина, получаем дифференциальное уравнение на  $\zeta$

$$\frac{d^2\zeta}{dt^2} + 2\varepsilon \frac{d\zeta}{dt} + \omega_{0,mn}^2(1 + k\zeta^2)\zeta + \sum_{i=1}^M \sum_{j=1}^N A_{ij}(\omega)\zeta = \bar{q}_0 \cos \omega t, \quad (8)$$

где

$$A_{ij} = -\omega t g(\tau_{ij}\omega) \sin^2 \frac{m\pi x_i}{a} \sin^2 \frac{n\pi y_j}{b} / \tau_{ij}; \tau_{ij} = l_{Hij} / c_{Hij} = l_{Hij} \sqrt{\rho_{Hij}} / \sqrt{E_{Hij}};$$

$\omega_{0,mn}$ ;  $k$ ,  $\bar{q}_0$  даны в [3].

Интегрируя (8) методом Ритца, получаем амплитудно-частотное уравнение колебаний ПН

$$\left( \omega_{0,mn}^2 + \sum_{i=1}^M \sum_{j=1}^N A_{ij}(\omega) + \frac{3}{4} \omega_{0,mn}^2 k c_1^2 - \omega^2 \right)^2 + 4\varepsilon^2 \omega^2 = \frac{\bar{q}_0^2}{c_1^2}. \quad (9)$$

Здесь  $c_1 = \sqrt{a_1^2 + b_1^2}$ . Уравнения (8), (9) позволяют исследовать различные нелинейные и линейные задачи теории колебаний ПН. Рассмотрим одну из них – об определении параметров нанобъекта по частотам линейных колебаний ПН и собственным частотам подложки. Из (9) при  $k = \varepsilon = \bar{q}_0 = 0$ ,  $M = N = 1$ ,  $x_1 = a/2$ ,  $y_1 = b/2$ ,  $A_{11} = -\omega t g(\tau\omega) / \tau$  получаем частотное уравнение ПН

$$\Omega((tg(2\pi\tau\Omega))/\tau + 2\pi\Omega) = 2\pi\Omega_{0,mn}^2, \quad (10)$$

где  $\Omega = \omega/(2\pi)$ ,  $\Omega_{0,mn} = \omega_{0,mn}/(2\pi)$ .

Для определения одного из параметров нанобъекта: модуля Юнга, плотности, длины или скорости продольных волн можно предложить следующий порядок действий.

1. Экспериментально определить собственные частоты подложки и сопоставить их с найденными по формуле [3]

$$\Omega_{0,mn} = \omega_{0,mn}/(2\pi) = (\pi m^2(1 + n^2\lambda^2/m^2)ch)/(4\sqrt{3}\lambda ab\sqrt{1-v^2}). \quad (11)$$

2. Экспериментально определить собственные частоты ПН и частоту  $\Omega_a$  ее первого «антирезонанса».

3. Проверить выполнение закономерностей перераспределения частот [1].

4. По частоте  $\Omega_a$  вычислить один из параметров нанобъекта, например скорость продольных волн  $C_H = 4l_H\Omega_a$ .

5. По частотному уравнению (10) вычислить собственные частоты ПН и проверить их совпадение с экспериментальными.

В табл. 1 приведены результаты расчета частот при  $a = 10$  мкм;  $b = 20$  мкм;  $c = 4800$  м/с;  $v = 0,25$ ;  $l_H = 3$  мкм. При частоте «антирезонанса», совпадающей с собственной частотой подложки  $\Omega_a = \Omega_{0,35}$ , скорость продольных волн в нанобъекте составляет  $C_H = 4113,7$  м/с. У ПН появляются две «боковые» частоты.

Таблица 1

Подложка			Собственные частоты ПН, ГГц	Собственные частоты нанобъекта, ГГц
$m$	$n$	$\Omega_{0,mn}$ , ГГц		
1	7	0,297852	0,215375	0,342811
3	5	0,342811	0,495749	1,028433
4 (2)	1 (7)	0,365290		1,714055

#### СПИСОК ЛИТЕРАТУРЫ

1. Об определении собственных частот нанобъектов / В.А. Еремеев, Е.А. Иванова, Н.Ф. Морозов, А.Н. Соловьев // ДАН. – 2006. – Т. 406, № 6. – С. 756 – 759.
2. Григолюк, Э.И. Многослойные армированные оболочки. Расчет пневматических шин / Э.И. Григолюк, Г.М. Куликов. – М. : Машиностроение, 1988. – 288 с.
3. Куликов, Г.М. Нелинейные колебания многослойных пластин / Г.М. Куликов, Ю.В. Кулешов // Вестник ТГУ. – 2004. – Т. 9, Вып. 2. – С. 264 – 267.
4. Вольмир, А.С. Нелинейная динамика пластинок и оболочек / А.С. Вольмир. – М. : Наука, 1972. – 432 с.